

IMINSA

INFORMACION COMPLEMENTARIA

HOJA 0708

PUERTOMARÍN

ALBUM DE FOTOGRAFIAS DE CAMPO



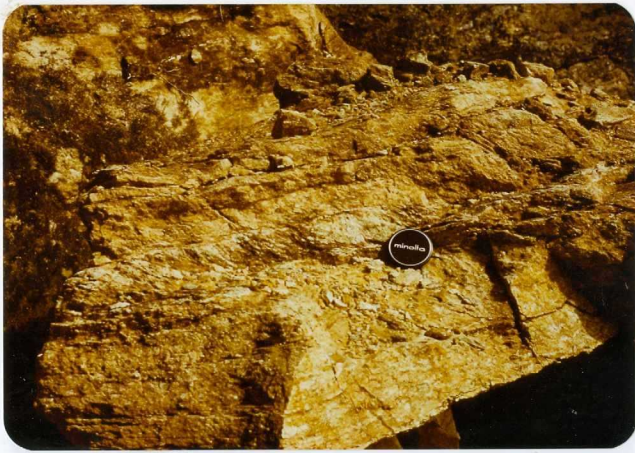
0708-IM-FR-0111.- Pliegues de la fase F_1 en la Cuarcita de Cándana inferior, próxima a Puertomarín.



0708-IM-FR-0112.- Agregados fibrosos de talco en las Calizas de Cándana.



0708-IM-FR-0113.- Antiforma de fase 2 en la Caliza de Cándana, localizada en las proximidades de Gondrame.



0708-IM-FR-0114.- Esquistrosidad de plano axial (S_2) en la antiforma de la foto anterior.



0708-IM-FR-0115.- Pliegues de fase F_1 plegados por otro de fase 2 dentro de las pizarras de Cándana en las proximidades de Gondrame.



0708-IM-FR-0116.- Pliegues de fase F_1 plegados por otro de fase 2 dentro de las pizarras de Cándana.



0708-IM-FR-0117.- Bouding de granito leucocrático dentro de las pizarras precámblicas de la Serie de Villalba, en las proximidades de la falla de Vivero.



0708-IM-FR-0118.- Pliegues de fase 2 dentro de la Serie de Cándana, en las proximidades de Santa Marina.



0708-IM-FR-0119.- Falla de Vivero (al Sur de Riocabo). A la izquierda la Caliza de Cándana y a la derecha las pizarras silúricas.



0708-IM-FR-0120.- Pliegues de tipo "chevron" en las pizarras silúricas, al Sur de la hoja.



0708-IM-NB-0673.- Vista general del Domo de Lugo en las proximidades de Puertomarín.



0708-IM-NB-0674.- Aspecto general de los bancos cuarcíticos de la Serie de Candana.



0708-IM-NB-0675.- Aspecto topográfico de los niveles cuarcíticos del Silúrico en las proximidades de Pereiraboa.



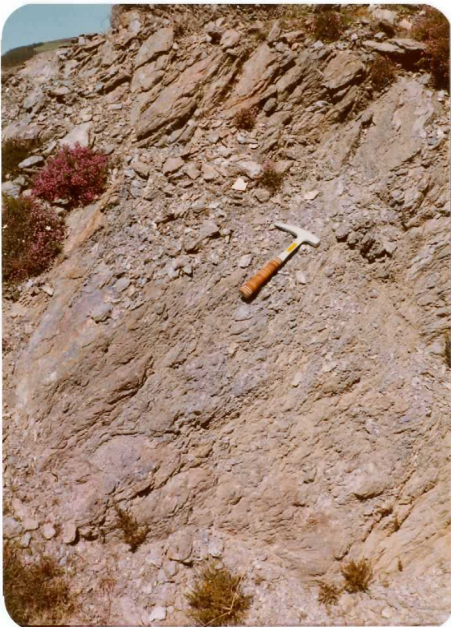
0708-IM-NB-0676.- Granito de 2 micas leucocrático al Este de la hoja, en el Dominio del Domo de Lugo; en las proximidades de Morgade.



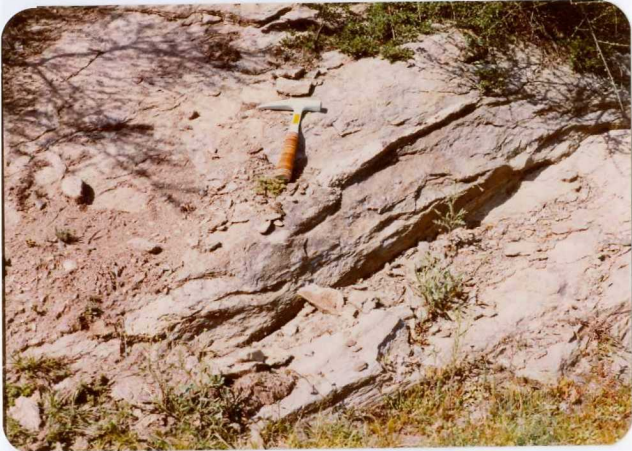
0708-IM-NB-0677.- Idem que la anterior.



0708-IM-NB-0678.- Niveles esquistos de la Serie de Candana, en Pereiraboa, muy próximo a la falla de Vivero.



0708-IM-NB-0679.- Niveles esquistosos del Ordovícico inferior al Este de Bidul.



0708-IM-NB-0680.- Aspecto general de los niveles cuarcíticos de la serie de Cándana cerca de Puertomarín.



0708-IM-NB-0681.- Aspecto general de los niveles Terciarios en las cercanías de Puertomarín al Norte de la hoja.



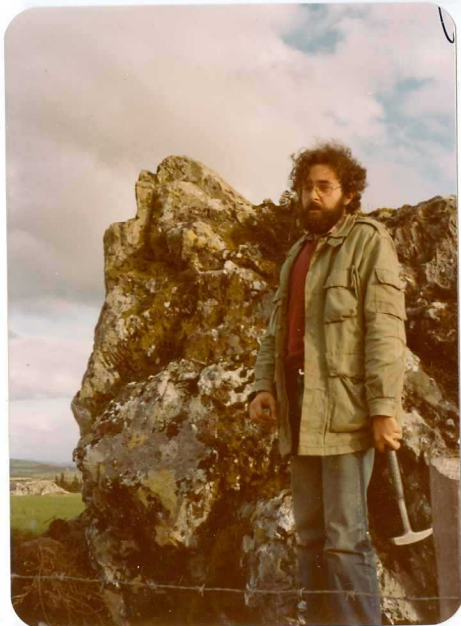
0708-IM-NB-0682.- Idem que la anterior.



0708-TM-NB-0683.- Idem que la anterior.



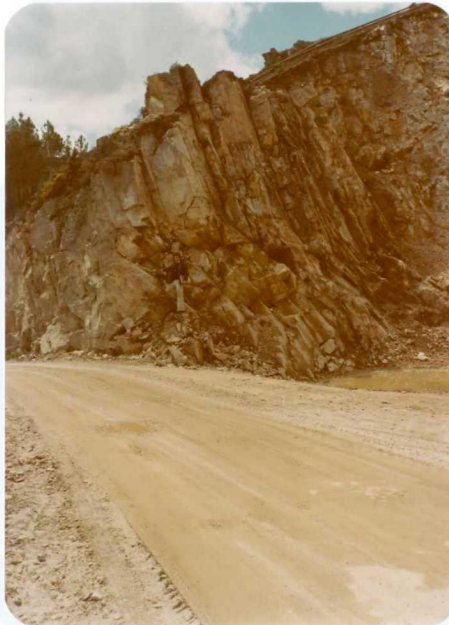
0708-IM-NB-0684.- Idem que la anterior.



0708-IM-NB-0686.- Idem que la anterior.



0708-IM-NB-0687.- Idem que la anterior.



0708-IM-NB-0688.- Aspecto general de los materiales cuarcíticos y esquistosos y de probable edad silúrica que constituyen enclaves dentro de la Granodiorita Precoz con megacristales al Suroeste de la hoja.



0708-IM-NB-0689.- Idem que la anterior.



0708-IM-NB-0690.- Bandas de Kinks en los niveles esquistosos de los enclaves silúricos dentro de la Granodiorita Precoz al Suroeste de la hoja.



0708-IM-NB-0691.- Vista general de la Disyunción bolar en la Granodiorita Precoz con megacristales.



0708-IM-NB-0692.- Aspecto de la Granodiorita Precoz con megacristales.



0708-IM-NB-0693.- Idem que la anterior.



0708-IM-NB-0694.- Idem que la anterior.



0708-IM-NB-0695.- Idem que la anterior.



0708-IM-NB-0696.- Aspecto de los materiales cuarzo esquistosos que constituyen los enclaves silúricos dentro de la Granodiorita Precoz con megacristales.